

ОЦЕНКА ВЫСОКОЧАСТОТНОЙ ЧАСТИ СПЕКТРА ТУРБУЛЕНТНОСТИ С ПОМОЩЬЮ ЛАЗЕРА

А. С. ГУРВИЧ, И. С. ТИМЕ

(Москва)

Целью настоящей работы является определение микроструктуры температурного поля в турбулентной среде по флуктуациям излучения, прошедшего через эту среду. Впервые на эту возможность указал А. М. Обухов [1]. Грубые оценки внутреннего масштаба и константы в температурном спектре получены в [2] по измерениям дисперсии флуктуаций логарифма интенсивности. Различные оптические методы получения сведений о спектре температуры в атмосфере подробно рассмотрены в [3, 4]. В [4] показано, что наиболее чувствительным методом является измерение корреляционных функций угла прихода волны, представляющее собой технически сложный эксперимент. В качестве более простых измерений в [4] предлагаются измерения корреляционных функций флуктуаций интенсивности, которые были проведены в [5]. Однако, как следует из [5], этот метод имеет слабую чувствительность к форме спектра турбулентности в области малых масштабов.

В данной работе для исследования турбулентности измерялись частотные спектры флуктуаций логарифма интенсивности и его производной. Этот метод, предложенный в [3] и являющийся оптимальным по чувствительности и простоте, предполагает изотропность мелкомасштабных флуктуаций температуры, которая экспериментально проверена в [6], и выполнение «гипотезы замороженности» Тейлора.

Согласно [7] частотный спектр $W_x(f)$ логарифма интенсивности в плоской волне при условии выполнения гипотезы замороженности связан с трехмерным спектром показателя преломления $\Phi_n(x)$ интегральным уравнением Абеля

$$(1) \quad W_x(f) = \frac{8\pi^2 k^2}{V_{\perp}} \int_{-\infty}^{\infty} \left(1 - \frac{k}{x^2 L} \sin \frac{x^2 L}{k} \right) \left(x^2 - \frac{4\pi^2 f^2}{V_{\perp}^2} \right)^{-1/2} \Phi_n(x) x dx$$

$(\langle \chi^2 \rangle < 1)$

где $k = 2\pi/\lambda$ – волновое число, V_{\perp} – составляющая скорости ветра, нормальная к направлению распространения волны; $\langle \chi^2 \rangle$ – дисперсия флуктуаций логарифма интенсивности.

Уравнение Абеля имеет формулу обращения. Однако решение неустойчиво к ошибкам экспериментально определяемой функции $W_x(f)$ (в формулу обращения входит оператор дифференцирования экспериментальных данных). Следовательно, для нахождения решения уравнения Абеля нужно пользоваться методами регуляризации, но в данной работе ограничимся более простой задачей сравнения экспериментальных данных с рассчитанными спектрами для предлагаемых моделей $\Phi_n(x)$.

Из теории Колмогорова – Обухова следует, что трехмерный спектр турбулентности имеет вид

$$(2) \quad \begin{aligned} \Phi_n(x) &= A \langle \varepsilon_n \rangle \langle \varepsilon \rangle^{-1/4} x^{-11/4} \Phi_1(x \eta_k) \\ (\eta_k &= \langle \varepsilon \rangle^{-1/4} \alpha^{1/4}, \quad \langle \varepsilon_n \rangle = -\frac{\partial}{\partial t} \left(\frac{\langle n^2 \rangle}{2} \right)) \end{aligned}$$

где $\langle \varepsilon \rangle$ – средняя скорость диссипации энергии, α – коэффициент температуропроводности, $\langle \varepsilon_n \rangle$ с хорошим приближением может быть выражена через

$$\langle \varepsilon_T \rangle = -\frac{\partial}{\partial t} \left(\frac{\langle T^2 \rangle}{2} \right), \quad \langle \varepsilon_n \rangle = \left\langle \left(\frac{\partial n}{\partial T} \right)^2 \right\rangle \langle \varepsilon_T \rangle$$

На функцию $\Phi_1(x \eta_k)$ накладывается условие, чтобы она мало отличалась от единицы в области $x \eta_k < 1$ и быстро убывала при $x \eta_k > 1$. Для спектра (2) безразмерная величина $U = f W_x(f) / \langle \chi^2 \rangle$, которая может быть вычислена из результатов измерений, будет функцией безразмерной частоты $\Omega = \sqrt{2\pi \lambda L} / V_{\perp}$ и волнового параметра $\lambda L / 2\pi \eta_k^2$.

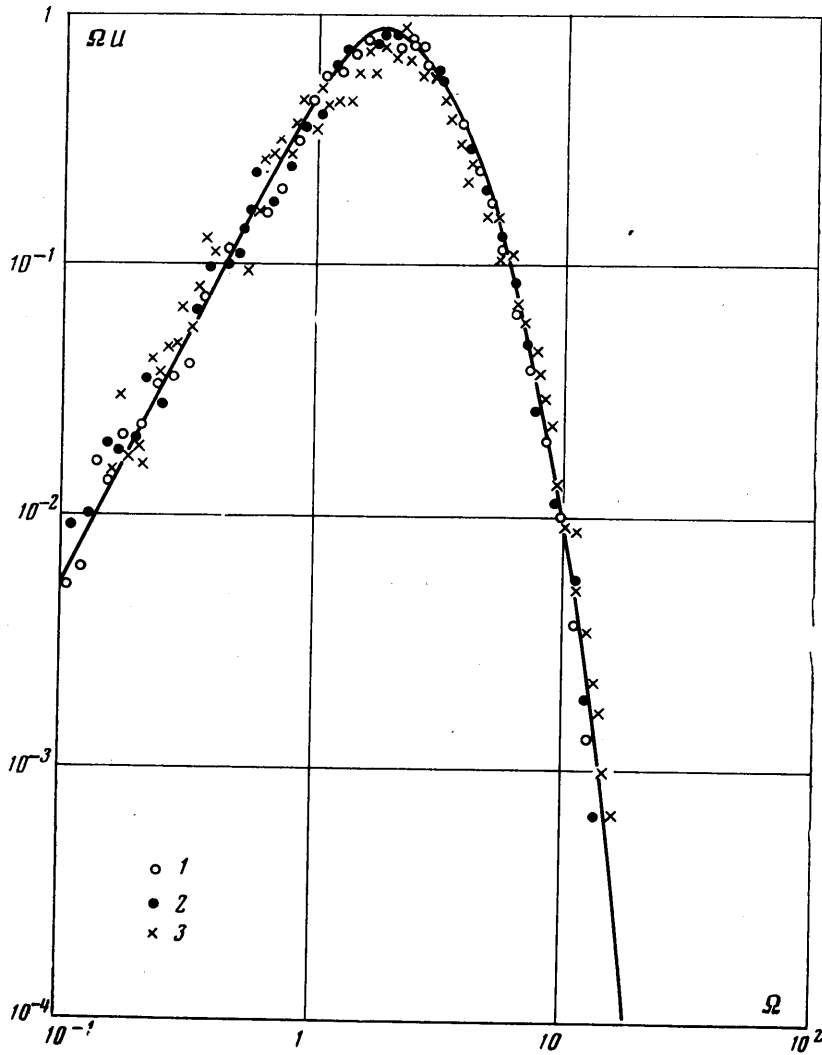
Таким образом, различные модели $\Phi_1(x \eta_k)$ дадут теоретические спектры $U(\Omega, \lambda L / 2\pi \eta_k)$, которые можно сравнить с экспериментальными и установить приемлемость той или иной гипотезы, на основе которой получено $\Phi_1(x \eta_k)$.

Эксперимент проводился на трассе длиной 50 м. В качестве источника использовался Не – Не оптический квантовый генератор (ОКГ) с длиной волны $\lambda = 0.63 \mu\text{m}$,

На выходе ОКГ была установлена телескопическая система, формирующая пучок с распределением, близким к гауссовскому

$$I = I_0 \exp(-\rho^2/\rho_0^2)$$

с $\rho_0 \approx 5$ см. Луч проходил на высоте 1 м над ровной подстилающей поверхностью. Приемное отверстие 0.3 мм, чтобы по возможности уменьшить пространственное осреднение по апертуре. Приемником служил фотоумножитель с логарифмическим усилителем, флуктуации напряжения на выходе которого регистрировались либо непосредственно, либо после дифференцирования посредством RC цепочки.



Регистрация осуществлялась с помощью аналогоцифрового преобразователя и цифрового магнитофона. Это позволило существенно увеличить длительность реализации и вместе с увеличением ширины пучка привело к расширению диапазона частот определяемой спектральной плотности регистрируемого процесса по сравнению с [7]. Спектры вычислялись на ЭВМ «Минск-22» методом быстрого преобразования Фурье [8]. Полученные спектры осреднялись по прямоугольному окну, ширина которого оставалась постоянной в логарифмическом масштабе.

Ограничением для продвижения в область высоких частот является дробовой шум фотоумножителя. Из-за этого шума надежные определения спектральной плотности в наших измерениях возможны до частот порядка 3.5 кгц. На фигуре приве-

дены три экспериментальных нормированных спектра производной логарифма интенсивности (1, 2, 3)

$$\Omega U(\Omega) = W_\chi \cdot / \sqrt{2\pi\lambda L} V_\perp \langle \chi^2 \rangle$$

с вычтенным плутом. На фигуре на экспериментальные спектры нанесена теоретическая кривая для модели спектра с функцией

$$(3) \quad \Phi_1(x\eta_k) = \begin{cases} 1, & x\gamma\eta_k \leq 1 \\ \exp[-8\sigma^{-2} \ln^2(x\gamma\eta_k)], & x\gamma\eta_k > 1 \end{cases}$$

где σ^2 – дисперсия флюктуаций логарифма скорости диссипации кинетической энергии ε , γ – численный коэффициент.

Эта формула основана на асимптотической формуле, выведенной Келлером и Ягломом в предположении нормального распределения для флюктуаций $\ln \varepsilon$ [10]. Сравнение экспериментальных и расчетных данных позволяет оценить средний квадрат логарифма скорости диссипации энергии σ . Наилучшее совпадение получается при $\sigma \approx 2$, что хорошо согласуется с измерениями σ , выполненными А. С. Гуревичем [11]. Полученные измерения позволяют оценить также величину $\gamma\eta_k = 0.7$ мм рассматриваемой модели. К сожалению, одновременно не проводились измерения для независимого определения внутреннего масштаба турбулентности. Однако на основе многолетних наблюдений в Цимлянске можно заключить, что η_k не выходит за пределы 0.5–0.9 мм для условий, близких к тем, в которых проводились измерения. Используя эти значения, получаем $\gamma = 0.8 \div 1.4$. Постоянная a^2 , входящая в «закон $2/3$ » Колмогорова – Обухова, связана с γ и σ соотношением

$$(4) \quad \gamma^{4/3} a^{-2} = P(\sigma) = 0.132\pi \left[\frac{3}{4} + \frac{\sigma}{4} \exp\left(-\frac{\sigma^2}{18}\right) \int_{-\sigma/3}^{\infty} \exp\left(-\frac{t^2}{2}\right) dt \right]$$

полученным из условия, что структурная функция показателя преломления $D_n(r)$, соответствующая спектру (2) с затуханием (3) при $r \ll \eta_k$, должна иметь вид

$$D_n(r) = \frac{1}{3} \frac{\langle \varepsilon_n \rangle}{\alpha} r^2$$

Из условия (4), и учитывая, что $P(2) = 0.8$, приходим к оценке $a^2 \approx 0.9 \div 2$, соглашающейся с величинами, которые приведены в [12].

Сравнение с другими моделями, и в частности с гауссовским затуханием

$$\Phi_1(x\eta_k) = \exp[-(x\gamma\eta_k)^2]$$

проводившееся также ранее в работе [7], и с

$$\Phi_1(x\eta) = \exp(-\gamma x\eta_k)$$

предлагаемой в [13], показало, что они несколько хуже согласуются с полученными экспериментальными данными. Однако поскольку все предлагаемые формулы являются асимптотическими, для выяснения действительной формы спектра в вязком интервале необходимо в дальнейшем расширить диапазон измерений в область более высоких частот.

Поступила 20 III 1972

ЛИТЕРАТУРА

1. Обухов А. М. О влиянии слабых неоднородностей атмосферы на распространение звука и света. Изв. АН СССР, Сер. геофиз., 1953, № 2.
2. Гуревич А. С., Мелешик Б. Н. Об определении внутреннего масштаба турбулентности по флюктуациям интенсивности света. Изв. АН СССР, Физика атмосферы и океана II, 1966, № 7.
3. Гуревич А. С. Определение характеристик турбулентности из экспериментов по распространению света. Изв. АН СССР, Физика атмосферы и океана IV, 1968, № 2.
4. Strohbehn J. W. The feasibility of laser experiments for measuring the permittivity spectrum of the turbulent atmosphere. J. Geophys. Res., 1970, vol. 75, No. 6.
5. Gray D. A., Waterman A. T. Measurement of finescale atmospheric structure using an optical propagation technique. J. Geophys. Res., 1970, vol. 75, No. 6.
6. Гуревич А. С., Пахомов В. В., Черемухин А. М. Об изотропности флюктуаций показателя преломления в приземном слое атмосферы для малых масштабов турбулентности. Изв. АН СССР, Физика атмосферы и океана VII, 1971, № 1.

7. Татарский В. И. Распространение волн в турбулентной атмосфере. М., «Наука», 1967.
8. Тиме Н. С. Оценка спектра турбулентности в интервале диссипации по измерениям флуктуаций лазерного излучения. Изв. АН СССР, Физика атмосферы и океана VIII, 1972, № 1.
9. Холмянский М. З. Численное определение спектральной плотности случайного процесса с широким спектром. Электронно-вычислительная механика и программирование, вып. 4, М., «Статистика», 1971.
10. Келлер Б. С., Яглом А. М. О влиянии флуктуаций диссипации энергии на форму спектра турбулентности в крайней коротковолновой области. Изв. АН СССР, МЖГ, 1970, № 3.
11. Гурвич А. С. О распределении вероятностей квадрата разности температур в двух точках турбулентного потока. Докл. АН СССР, 1967, т. 172, № 3.
12. Монин А. С., Яглом А. М. Статистическая гидромеханика, ч. 2, М., «Наука», 1967.
13. Кузьмин Г. А. Спектр турбулентности в области больших волновых чисел. ПМТФ, 1971, № 4.

УДК 532.526

ДВУХПАРАМЕТРИЧЕСКОЕ РЕШЕНИЕ УРАВНЕНИЙ ЛАМИНАРНОГО ПОГРАНИЧНОГО СЛОЯ НА ПРОНИЦАЕМОЙ ПОВЕРХНОСТИ

Л. Г. ШИШКИНА

(Ленинград)

Приводятся результаты численного решения двухпараметрического универсального уравнения ламинарного пограничного слоя при наличии непрерывного отсоса и вдува.

Универсальное уравнение плоского ламинарного пограничного слоя на проницаемой поверхности [1, 2] в двухпараметрическом приближении имеет вид

$$(1) \quad \frac{\partial^3 \Phi}{\partial \eta^3} + \frac{F+2f}{2B^2} \Phi \frac{\partial^2 \Phi}{\partial \eta^2} + \frac{f}{B^2} \left[1 - \left(\frac{\partial \Phi}{\partial \eta} \right)^2 \right] + \frac{\lambda}{B} \frac{\partial^2 \Phi}{\partial \eta^2} = \\ = \frac{Ff}{B^2} \left(\frac{\partial \Phi}{\partial \eta} \frac{\partial^2 \Phi}{\partial f \partial \eta} - \frac{\partial \Phi}{\partial f} \frac{\partial^2 \Phi}{\partial \eta^2} \right) + \frac{F\lambda}{2B^2} \left(\frac{\partial \Phi}{\partial \eta} \frac{\partial^2 \Phi}{\partial \lambda \partial \eta} - \frac{\partial \Phi}{\partial \lambda} \frac{\partial^2 \Phi}{\partial \eta^2} \right) \\ \Phi = \frac{\partial \Phi}{\partial \eta} = 0 \quad \text{при} \quad \eta=0, \quad \frac{\partial \Phi}{\partial \eta} \rightarrow 1 \quad \text{при} \quad \eta \rightarrow \infty$$

$$\Phi = \Phi_0(\eta) \quad \text{при} \quad f=\lambda=0$$

Здесь приняты следующие обозначения:

$$\eta = \frac{By}{\delta^{**}}, \quad \Phi = \frac{B(\psi - \psi_0)}{U\delta^{**}}, \quad f = \frac{dU}{dx} z^{**}, \quad \lambda = v_0 \sqrt{\frac{z^{**}}{v}}$$

$$z^{**} = \delta^{**2}/v, \quad F = 2[\zeta - (2+H)f - \lambda]$$

$$\zeta = B \frac{\partial^2 \Phi}{\partial \eta^2} \Big|_{\eta=0}, \quad H = \frac{1}{B} \int_0^\infty \left(1 - \frac{\partial \Phi}{\partial \eta} \right) d\eta$$

причем x , y — продольная и поперечная координаты; ψ — функция тока, значение которой ψ_0 на поверхности соответствует скорости вдува или отсоса $v_0(x)$; $U(x)$ — скорость на внешней границе слоя; v — кинематический коэффициент вязкости; δ^{**} — толщина потери импульса, выбранная в качестве линейного масштаба координаты y ; B — нормирующая константа, которая выбирается из условия совпадения уравнения (1) с известным уравнением Блазиуса при $f=\lambda=0$

$$\Phi_0''' + \Phi_0 \Phi_0'' = 0, \quad 2B = F_0 = 2\zeta_0.$$

Уравнение (1), как известно [2], представляет собой уравнение двухпараметрического семейства безразмерных профилей скорости, пригодных для использования